

# Quelles courbes elliptiques pour la cryptographie ?

Christophe Ritzenthaler

19 mars 2008

C. Ritzenthaler, C.N.R.S. Institut de Mathématiques de Luminy  
Luminy Case 930, F13288 Marseille CEDEX 9  
e-mail : [ritzenth@iml.univ-mrs.fr](mailto:ritzenth@iml.univ-mrs.fr)  
web : <http://iml.univ-mrs.fr/~ritzenth/>



Primitives (AES, RSA, DLP)

fonctions crypto de bases  
sécurité élémentaire

# Des primitives cryptographiques aux applications

Primitives (AES, RSA, DLP)



Algorithmes (CBC-AES, RSA-OAEP)

fonctions crypto de bases  
sécurité élémentaire

sécurité renforcée  
model théorique pour l'attaquant

# Des primitives cryptographiques aux applications

Primitives (AES, RSA, DLP)



Algorithmes (CBC-AES, RSA-OAEP)



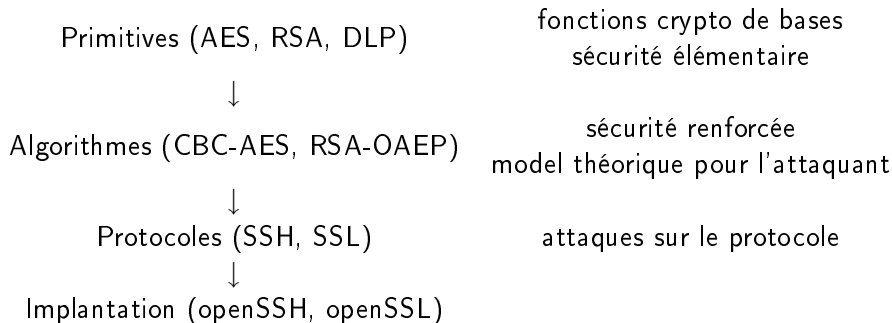
Protocoles (SSH, SSL)

fonctions crypto de bases  
sécurité élémentaire

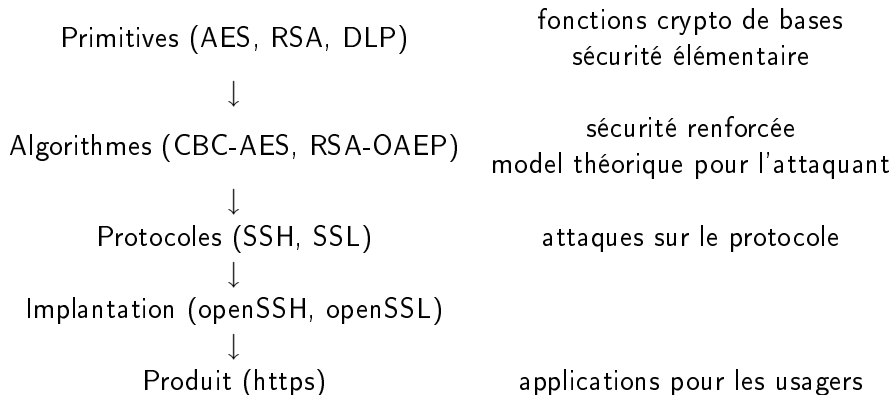
sécurité renforcée  
model théorique pour l'attaquant

attaques sur le protocole

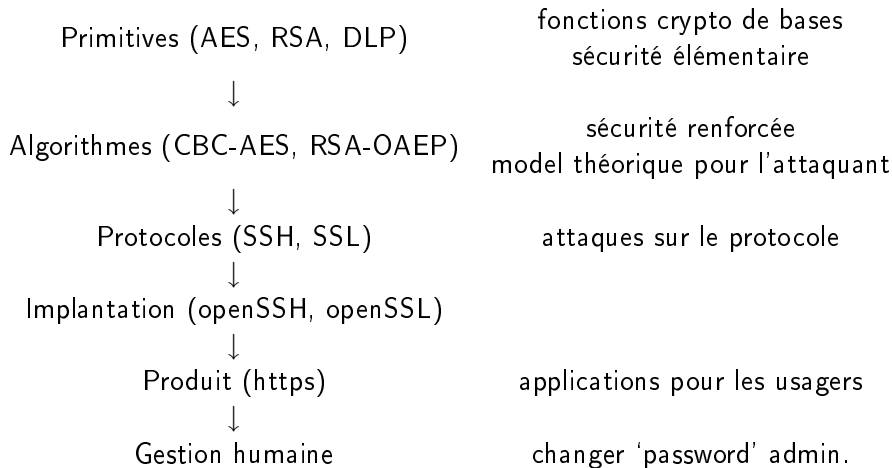
# Des primitives cryptographiques aux applications



# Des primitives cryptographiques aux applications



# Des primitives cryptographiques aux applications



# Echange de clés : Diffie-Hellman

Soit  $(G = \langle g \rangle, +)$  un groupe cyclique d'ordre  $N$ .



# Echange de clés : Diffie-Hellman

Soit  $(G = \langle g \rangle, +)$  un groupe cyclique d'ordre  $N$ .

Alice

$k_A$  aléatoire

$$h_A = k_A g$$

Bob

$k_B$  aléatoire

$$h_B = k_B g$$

# Echange de clés : Diffie-Hellman

Soit  $(G = \langle g \rangle, +)$  un groupe cyclique d'ordre  $N$ .

Alice

$k_A$  aléatoire

$$h_A = k_A g$$

Bob

$k_B$  aléatoire

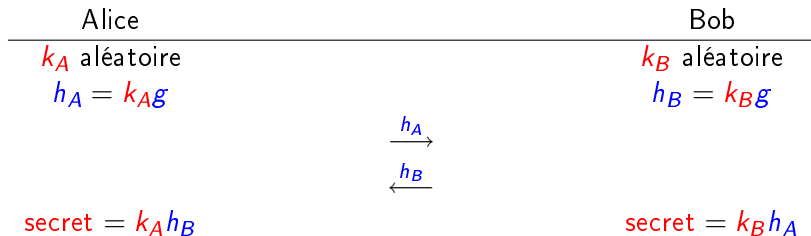
$$h_B = k_B g$$

$$\xrightarrow{h_A}$$

$$\xleftarrow{h_B}$$

# Echange de clés : Diffie-Hellman

Soit  $(G = \langle g \rangle, +)$  un groupe cyclique d'ordre  $N$ .



# Echange de clés : Diffie-Hellman

Soit  $(G = \langle g \rangle, +)$  un groupe cyclique d'ordre  $N$ .

Alice

$k_A$  aléatoire

$$h_A = k_A g$$

Bob

$k_B$  aléatoire

$$h_B = k_B g$$

$$\xrightarrow{h_A}$$

$$\xleftarrow{h_B}$$

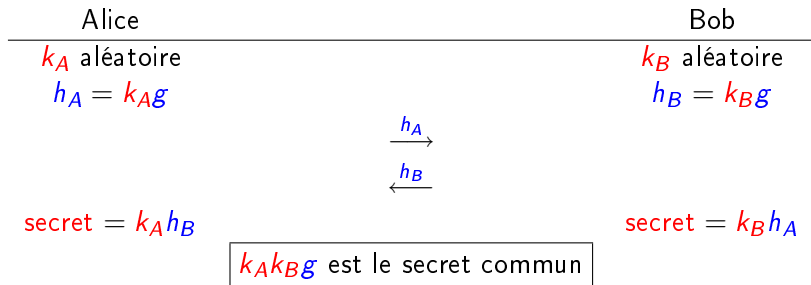
$$\text{secret} = k_A h_B$$

$$\text{secret} = k_B h_A$$

$k_A k_B g$  est le secret commun

# Echange de clés : Diffie-Hellman

Soit  $(G = \langle g \rangle, +)$  un groupe cyclique d'ordre  $N$ .



A priori, la difficulté pour l'attaquant est de calculer  $k_A k_B g$  connaissant  $k_A g$  et  $k_B g$  (DH calculatoire). C'est possible s'il sait résoudre le ...

# Problème du logarithme discret (DLP)

**Définition :** Etant donné  $(G = \langle g \rangle, +)$  un groupe cyclique d'ordre  $N$  et  $h \in G$  le DLP est de trouver un entier  $\lambda$  tel que

$$h = \lambda g.$$

# Problème du logarithme discret (DLP)

**Définition :** Etant donné  $(G = \langle g \rangle, +)$  un groupe cyclique d'ordre  $N$  et  $h \in G$  le DLP est de trouver un entier  $\lambda$  tel que

$$h = \lambda g.$$

Est ce équivalent au problème de DH calculatoire ?

# Problème du logarithme discret (DLP)

**Définition :** Etant donné  $(G = \langle g \rangle, +)$  un groupe cyclique d'ordre  $N$  et  $h \in G$  le DLP est de trouver un entier  $\lambda$  tel que

$$h = \lambda g.$$

Est ce équivalent au problème de DH calculatoire ?

Oui si  $\#G$  n'est pas divisible par le carré d'un grand nombre premier (Maurer-Wolf 1999).



# Quelles sont les contraintes générales ?

- Efficacité : les éléments peuvent être stockés de manière compacte ( $\log_2 N + \mathcal{O}(1)$  bits).

# Quelles sont les contraintes générales ?

- Efficacité : les éléments peuvent être stockés de manière compacte ( $\log_2 N + \mathcal{O}(1)$  bits).
- La loi de groupe est rapide :  $\mathcal{O}(\log N)^\mu$  avec  $\mu \geq 1$  petit.

# Quelles sont les contraintes générales ?

- Efficacité : les éléments peuvent être stockés de manière compacte ( $\log_2 N + \mathcal{O}(1)$  bits).
- La loi de groupe est rapide :  $\mathcal{O}(\log N)^\mu$  avec  $\mu \geq 1$  petit.
- Résistance aux attaques basiques
  - Paradoxe des anniversaires  $\rightsquigarrow$   $\rho$ -Pollard en  $\mathcal{O}(\sqrt{N})$  heuristique (Kim-Montenegro-Tetali (Arxiv08) : collisions en  $\mathcal{O}(\sqrt{N \log N \log \log N})$ ).

# Quelles sont les contraintes générales ?

- Efficacité : les éléments peuvent être stockés de manière compacte ( $\log_2 N + \mathcal{O}(1)$  bits).
- La loi de groupe est rapide :  $\mathcal{O}(\log N)^\mu$  avec  $\mu \geq 1$  petit.
- Résistance aux attaques basiques
  - Paradoxe des anniversaires  $\rightsquigarrow$   **$\rho$ -Pollard** en  $\mathcal{O}(\sqrt{N})$  heuristique (Kim-Montenegro-Tetali (Arxiv08) : collisions en  $\mathcal{O}(\sqrt{N \log N \log \log N})$ ).
  - **Pohlig-Hellman** : le temps de calcul est dominé par le DLP dans un groupe d'ordre le plus grand facteur premier de  $N \rightsquigarrow N$  possède un grand facteur premier.

# Quelles sont les contraintes générales ?

- Efficacité : les éléments peuvent être stockés de manière compacte ( $\log_2 N + \mathcal{O}(1)$  bits).
- La loi de groupe est rapide :  $\mathcal{O}(\log N)^\mu$  avec  $\mu \geq 1$  petit.
- Résistance aux attaques basiques
  - Paradoxe des anniversaires  $\rightsquigarrow$   $\rho$ -Pollard en  $\mathcal{O}(\sqrt{N})$  heuristique (Kim-Montenegro-Tetali (Arxiv08) : collisions en  $\mathcal{O}(\sqrt{N \log N \log \log N})$ ).
  - Pohlig-Hellman : le temps de calcul est dominé par le DLP dans un groupe d'ordre le plus grand facteur premier de  $N \rightsquigarrow N$  possède un grand facteur premier.
  - Résultat de Shoup : pour les groupes "génériques"  $\mathcal{O}(\sqrt{N})$  au mieux.

- $(\mathbb{Z}/p\mathbb{Z})^*$  et plus généralement les groupes multiplicatifs des corps finis  $\mathbb{F}_{p^n}$ . Très efficaces mais il existe une attaque sous-exponentielle :
  - $n$  petit : NFS en  $L_{p^n}(1/3, (64/9)^{1/3})$ .
  - $p$  petit : FFS en  $L_{p^n}(1/3, (32/9)^{1/3})$ .

- $(\mathbb{Z}/p\mathbb{Z})^*$  et plus généralement les groupes multiplicatifs des corps finis  $\mathbb{F}_{p^n}$ . Très efficaces mais il existe une attaque sous-exponentielle :
  - $n$  petit : NFS en  $L_{p^n}(1/3, (64/9)^{1/3})$ .
  - $p$  petit : FFS en  $L_{p^n}(1/3, (32/9)^{1/3})$ .
- **Lercier** : DLP sur  $\mathbb{F}_p^*$  avec un  $p$  de 530 bits.
- groupe des classes  $Cl(O_K)$  avec  $K = \mathbb{Q}(\sqrt{-d})$  ( $d > 1$ ) : attaque sous-exponentielle.

- $(\mathbb{Z}/p\mathbb{Z})^*$  et plus généralement les groupes multiplicatifs des corps finis  $\mathbb{F}_{p^n}$ . Très efficaces mais il existe une attaque sous-exponentielle :
  - $n$  petit : NFS en  $L_{p^n}(1/3, (64/9)^{1/3})$ .
  - $p$  petit : FFS en  $L_{p^n}(1/3, (32/9)^{1/3})$ .

**Lercier** : DLP sur  $\mathbb{F}_p^*$  avec un  $p$  de 530 bits.

- groupe des classes  $Cl(O_K)$  avec  $K = \mathbb{Q}(\sqrt{-d})$  ( $d > 1$ ) : attaque sous-exponentielle.
- Les points rationnels sur les jacobiniennes de courbes de genre  $g \geq 1$  sur  $\mathbb{F}_q$ .



# Le calcul de l'index

Initié en 1994 par Adleman-DeMarrais-Huang.

Asymptotiques (Enge-Gaudry) : si  $g/\log q \rightarrow \infty$  alors  $L_{q^g}(\sqrt{2})$ .

	$g = 1$	$g = 2$	$g = 3$	$g = 4$
Générique en $\sqrt{q^g}$	$q^{1/2}$	$q$	$q^{3/2}$	$q^2$
Calcul de l'index (2000)	-	-	$q^2$	$q^2$
Base réduite (2000)	-	-	$q^{3/2}$	$q^{8/5}$
Single large prime (2003)	-	-	$q^{10/7}$	$q^{14/9}$
Double large prime (2005)	-	-	$q^{4/3}$	$q^{3/2}$
Bas degré (2006)	-	-	$q$	

# Le calcul de l'index

Initié en 1994 par Adleman-DeMarrais-Huang.

Asymptotiques (Enge-Gaudry) : si  $g/\log q \rightarrow \infty$  alors  $L_{q^g}(\sqrt{2})$ .

	$g = 1$	$g = 2$	$g = 3$	$g = 4$
Générique en $\sqrt{q^g}$	$q^{1/2}$	$q$	$q^{3/2}$	$q^2$
Calcul de l'index (2000)	-	-	$q^2$	$q^2$
Base réduite (2000)	-	-	$q^{3/2}$	$q^{8/5}$
Single large prime (2003)	-	-	$q^{10/7}$	$q^{14/9}$
Double large prime (2005)	-	-	$q^{4/3}$	$q^{3/2}$
Bas degré (2006)	-	-	$q$	

Compétition entre le genre 1 (courbes elliptiques) et 2 (hyperelliptiques).

Tout dépend de la vitesse des opérations dans le groupe et des possibilités de construction de bonnes courbes.

# Comparaison des vitesses de calcul (P. Gaudry)

eBats (ECRYPT Benchmarking of Asymmetric Systems) : temps en cycles CPU.

	$g = 1, p = 2^{255} - 19$	$g = 2, p = 2^{127} - 739$
Opteron K8	310.000	296.000
Core2	386.000	405.000
Pentium 4	3.570.000	3.300.000
Pentium M	1.708.000	2.000.000

	$g = 1, q = 2^{251}$	$g = 2, q = 2^{113}$
Opteron K8	1.400.000	1.200.000
Core2	888.000	687.000
Pentium 4	3.085.000	2.815.000
Pentium M	2.480.000	2.020.000

# Comparaison des vitesses de calcul (P. Gaudry)

eBats (ECRYPT Benchmarking of Asymmetric Systems) : temps en cycles CPU.

	$g = 1, p = 2^{255} - 19$	$g = 2, p = 2^{127} - 739$
Opteron K8	310.000	296.000
Core2	386.000	405.000
Pentium 4	3.570.000	3.300.000
Pentium M	1.708.000	2.000.000

	$g = 1, q = 2^{251}$	$g = 2, q = 2^{113}$
Opteron K8	1.400.000	1.200.000
Core2	888.000	687.000
Pentium 4	3.085.000	2.815.000
Pentium M	2.480.000	2.020.000

Comparaisons réalisées avant le modèle d'Edwards ...

$$E/\mathbb{F}_q : f(x, y) := y^2 + a_1xy + a_3y - (x^3 + a_2x^2 + a_4x + a_6) = 0.$$

L'ensemble qui nous intéresse est

$$E(\mathbb{F}_q) = \{(x, y) \in \mathbb{F}_q^2 \text{ tels que } f(x, y) = 0\} \cup \{O_E\}.$$

C'est un groupe (voir l'exposé de Laurent).

**Rappel** : on veut que le cardinal du groupe  $E(\mathbb{F}_q)$  ait un gros facteur premier.

# Construction de bonnes courbes elliptiques

**Rappel** : on veut que le cardinal du groupe  $E(\mathbb{F}_q)$  ait un gros facteur premier.

basiques	Méthodes adiques ( $E$ varie)	CM ( $q$ varie)
comptage algo $\sqrt{\quad}$ extension	$l$ -adique ( $p$ grand) relèv. canonique ( $p$ petit = 2) cohomologique ( $p$ petit) déformation ( $p$ petit)	sur $\mathbb{C}$ TRC relèvement à la carte

- **Comptage** :  $\#E(\mathbb{F}_p) = 1 + \sum_{i=0}^{p-1} 1 + \left(\frac{f(i)}{p}\right)$  si  $E : y^2 = f(x)$ .  
Méthode exponentielle praticable jusqu'à  $p \approx 2^{30}$ .



- **Comptage** :  $\#E(\mathbb{F}_p) = 1 + \sum_{i=0}^{p-1} 1 + \left(\frac{f(i)}{p}\right)$  si  $E : y^2 = f(x)$ .  
Méthode exponentielle praticable jusqu'à  $p \approx 2^{30}$ .
- **Algorithme  $\sqrt{\quad}$**  : si on sait que si l'ordre  $N$  d'un groupe abélien satisfait  $B < N < C$  alors il existe un algorithme probabiliste pour le calculer en  $\mathcal{O}(\sqrt{C - B})$ . Bornes de Weil  $\rightsquigarrow \mathcal{O}(q^{1/4})$ .

- **Comptage** :  $\#E(\mathbb{F}_p) = 1 + \sum_{i=0}^{p-1} 1 + \left(\frac{f(i)}{p}\right)$  si  $E : y^2 = f(x)$ .  
Méthode exponentielle praticable jusqu'à  $p \approx 2^{30}$ .
- **Algorithme  $\sqrt{\quad}$**  : si on sait que si l'ordre  $N$  d'un groupe abélien satisfait  $B < N < C$  alors il existe un algorithme probabiliste pour le calculer en  $\mathcal{O}(\sqrt{C - B})$ . Bornes de Weil  $\rightsquigarrow \mathcal{O}(q^{1/4})$ .
- **Par extension** : Si  $\#E(\mathbb{F}_q) = q + 1 + a$ , on écrit  $X^2 + aX + q = (X - \alpha)(X - \beta)$  et

$$\#E(\mathbb{F}_{q^k}) = 1 + q^k - (\alpha^k + \beta^k).$$

# Les dangers des extensions

La descente de Weil : pour  $E/\mathbb{F}_{q^k}$ , construire  $C/\mathbb{F}_q$  de genre petit et un morphisme  $\phi : C \rightarrow E$  sur  $\mathbb{F}_{q^k}$ . Puis transférer le DLP par

$$N_{\mathbb{F}_{q^k}/\mathbb{F}_q} \circ \phi^* : E(\mathbb{F}_{q^k}) \rightarrow \text{Jac}(C)(\mathbb{F}_q).$$

**La descente de Weil** : pour  $E/\mathbb{F}_{q^k}$ , construire  $C/\mathbb{F}_q$  de genre petit et un morphisme  $\phi : C \rightarrow E$  sur  $\mathbb{F}_{q^k}$ . Puis transférer le DLP par

$$N_{\mathbb{F}_{q^k}/\mathbb{F}_q} \circ \phi^* : E(\mathbb{F}_{q^k}) \rightarrow \text{Jac}(C)(\mathbb{F}_q).$$

En pratique :

- **Menezes, Qu** : échoue pour toutes les courbes crypto définies sur  $\mathbb{F}_{2^n}$  pour  $n \in [160, 600]$  premier.

**La descente de Weil** : pour  $E/\mathbb{F}_{q^k}$ , construire  $C/\mathbb{F}_q$  de genre petit et un morphisme  $\phi : C \rightarrow E$  sur  $\mathbb{F}_{q^k}$ . Puis transférer le DLP par

$$N_{\mathbb{F}_{q^k}/\mathbb{F}_q} \circ \phi^* : E(\mathbb{F}_{q^k}) \rightarrow \text{Jac}(C)(\mathbb{F}_q).$$

En pratique :

- **Menezes, Qu** : échoue pour toutes les courbes crypto définies sur  $\mathbb{F}_{2^n}$  pour  $n \in [160, 600]$  premier.
- **Menezes, Teske, Weng (resp. Hess)** : pour  $2^{94}/2^{162}$  (resp.  $2^{123}/2^{156}$ ) classes d'isomorphismes de c.e. sur  $\mathbb{F}_{2^{23 \cdot 7}}$  (resp.  $\mathbb{F}_{2^{31 \cdot 5}}$ ) réduit le DLP à  $2^{48}$  (resp.  $2^{45}$ ) étapes (pour des courbes hyperelliptiques de genre 8 (resp. 31) sur  $\mathbb{F}_{2^{23}}$  (resp.  $\mathbb{F}_{2^5}$ )).

**La descente de Weil** : pour  $E/\mathbb{F}_{q^k}$ , construire  $C/\mathbb{F}_q$  de genre petit et un morphisme  $\phi : C \rightarrow E$  sur  $\mathbb{F}_{q^k}$ . Puis transférer le DLP par

$$N_{\mathbb{F}_{q^k}/\mathbb{F}_q} \circ \phi^* : E(\mathbb{F}_{q^k}) \rightarrow \text{Jac}(C)(\mathbb{F}_q).$$

En pratique :

- **Menezes, Qu** : échoue pour toutes les courbes crypto définies sur  $\mathbb{F}_{2^n}$  pour  $n \in [160, 600]$  premier.
- **Menezes, Teske, Weng (resp. Hess)** : pour  $2^{94}/2^{162}$  (resp.  $2^{123}/2^{156}$ ) classes d'isomorphismes de c.e. sur  $\mathbb{F}_{2^{23 \cdot 7}}$  (resp.  $\mathbb{F}_{2^{31 \cdot 5}}$ ) réduit le DLP à  $2^{48}$  (resp.  $2^{45}$ ) étapes (pour des courbes hyperelliptiques de genre 8 (resp. 31) sur  $\mathbb{F}_{2^{23}}$  (resp.  $\mathbb{F}_{2^5}$ )).
- **Diem** : si  $(q, 6) = 1$  alors il existe un transfert pour toutes les c.e. sur  $\mathbb{F}_q$  considérées sur une extension de degré 7.

## Autres dangers connus ?

- L'attaque par transfert (Smart-Araki-Satoh-Semaev) : lorsque  $\#E(\mathbb{F}_q) = q$  il existe une attaque en  $\mathcal{O}(\log(q))$ . Deux interprétations :
    - isomorphisme avec les différentielles logarithmiques (Rück).
    - relèvement (non canonique!) dans  $\mathcal{E}_1(\mathbb{Q}_p)$  (Couveignes).
- Rq. : toutes les autres idées de relèvement sont pour l'instant des échecs (voir Silverman ECC07).

- **L'attaque par transfert (Smart-Araki-Satoh-Semaev)** : lorsque  $\#E(\mathbb{F}_q) = q$  il existe une attaque en  $\mathcal{O}(\log(q))$ . Deux interprétations :
  - isomorphisme avec les différentielles logarithmiques (Rück).
  - relèvement (non canonique!) dans  $\mathcal{E}_1(\mathbb{Q}_p)$  (Couveignes).**Rq.** : toutes les autres idées de relèvement sont pour l'instant des échecs (voir Silverman ECC07).
- **L'attaque par l'accouplement de Tate-Lichtenbaum (Menezes-Okamoto-Vanstone)** : soit  $l$  premier et  $k$  tel que  $l|q^k - 1$ .

$$T_l : E(\mathbb{F}_q)[l] \times E(\mathbb{F}_{q^k}) \rightarrow \mathbb{F}_{q^k}^*[l].$$

Si  $k < 20$  on a une attaque plus rapide pour le logarithme discret dans le sous-groupe d'ordre  $l$ . C'est le cas des courbes supersingulières ( $k \leq 6$ ) et des courbes telles que  $\#E(\mathbb{F}_q) = q - 1$ .



Résultat :  $\pi_E : (x, y) \mapsto (x^q, y^q)$  satisfait  $\pi_E^2 + a\pi_E + q = 0$ .

Résultat :  $\pi_E : (x, y) \mapsto (x^q, y^q)$  satisfait  $\pi_E^2 + a\pi_E + q = 0$ .

- 1  $|a| \leq 2\sqrt{q} \rightsquigarrow$  déterminer  $\#E(\mathbb{F}_q)$  modulo  $L = \prod l_i^{e_i} > 4\sqrt{q}$  (TRC).

Résultat :  $\pi_E : (x, y) \mapsto (x^q, y^q)$  satisfait  $\pi_E^2 + a\pi_E + q = 0$ .

- 1  $|a| \leq 2\sqrt{q} \rightsquigarrow$  déterminer  $\#E(\mathbb{F}_q)$  modulo  $L = \prod l_i^{e_i} > 4\sqrt{q}$  (TRC).
- 2 Soit  $l \neq p$  et  $P \in E[l]$ . Si on trouve  $t$  tel que

$$\pi_E(P)^2 + qP = -t\pi_E(P)$$

on a  $(a - t)\pi_E(P) = O_E$  donc  $a \equiv t \pmod{l}$ .

**Résultat :**  $\pi_E : (x, y) \mapsto (x^q, y^q)$  satisfait  $\pi_E^2 + a\pi_E + q = 0$ .

- $|a| \leq 2\sqrt{q} \rightsquigarrow$  déterminer  $\#E(\mathbb{F}_q)$  modulo  $L = \prod l_i^{e_i} > 4\sqrt{q}$  (TRC).
- Soit  $l \neq p$  et  $P \in E[l]$ . Si on trouve  $t$  tel que

$$\pi_E(P)^2 + qP = -t\pi_E(P)$$

on a  $(a - t)\pi_E(P) = O_E$  donc  $a \equiv t \pmod{l}$ .

**En pratique :** calcul du polynôme de division  $\phi_l(x)$  de degré  $(l^2 - 1)/2$  ;  
égalité des endomorphismes  $\pi_E^2 + q$  et  $a\pi_E$  dans l'algèbre

$$\mathbb{F}_q[x, y]/(\phi_l(x), f(x, y)).$$

**Résultat :**  $\pi_E : (x, y) \mapsto (x^q, y^q)$  satisfait  $\pi_E^2 + a\pi_E + q = 0$ .

- $|a| \leq 2\sqrt{q} \rightsquigarrow$  déterminer  $\#E(\mathbb{F}_q)$  modulo  $L = \prod l_i^{e_i} > 4\sqrt{q}$  (TRC).
- Soit  $l \neq p$  et  $P \in E[l]$ . Si on trouve  $t$  tel que

$$\pi_E(P)^2 + qP = -t\pi_E(P)$$

on a  $(a - t)\pi_E(P) = O_E$  donc  $a \equiv t \pmod{l}$ .

**En pratique :** calcul du polynôme de division  $\phi_l(x)$  de degré  $(l^2 - 1)/2$  ;  
égalité des endomorphismes  $\pi_E^2 + q$  et  $a\pi_E$  dans l'algèbre

$$\mathbb{F}_q[x, y]/(\phi_l(x), f(x, y)).$$

**Complexité :**  $\tilde{O}(\log^5 q)$ .

Idée : utiliser  $l$ -ième polynôme modulaire  $\psi_l(x, y)$  de degré  $l + 1$ .

**Idée** : utiliser  $l$ -ième polynôme modulaire  $\psi_l(x, y)$  de degré  $l + 1$ .

- Si  $\psi_l(x, j_E)$  a une racine dans  $\mathbb{F}_q$ , il existe un sous-groupe  $C_l \in E[l](\mathbb{F}_q)$  et on remplace  $\phi_l(x)$  par

$$g_l(x) = \prod_{\pm P \in C_l \setminus \{O_E\}} (x - x_P).$$

$g_l(x)$  est calculé grâce au développement de  $\wp$  et des coefficients de la courbe  $E/C_l$ .

**Idée** : utiliser  $l$ -ième polynôme modulaire  $\psi_l(x, y)$  de degré  $l + 1$ .

- Si  $\psi_l(x, j_E)$  a une racine dans  $\mathbb{F}_q$ , il existe un sous-groupe  $C_l \in E[l](\mathbb{F}_q)$  et on remplace  $\phi_l(x)$  par

$$g_l(x) = \prod_{\pm P \in C_l \setminus \{O_E\}} (x - x_P).$$

$g_l(x)$  est calculé grâce au développement de  $\wp$  et des coefficients de la courbe  $E/C_l$ .

- Sinon il existe  $r > 1$  tel que  $\psi_l(x, j_E) \mid x^{q^r} - x$  et une racine  $r$ -ième  $\zeta$  tel que  $a^2 \equiv q(\zeta + \zeta^{-1})^2 \pmod{l}$ .  $\rightsquigarrow \phi(r)$  possibilités pour  $a \pmod{l}$ .  
Pas de bébé-Pas de géant pour décider.



**Amélioration (Enge)** : d'autres modèles pour  $X_0(l) \rightsquigarrow$  polynôme  $\psi_l(x, y)$  avec coefficients plus petits ou degré moindre en  $y$ .

**Complexité** :  $\mathcal{O}(l^3 \log^4 l \log l)$  (quasi-linéaire en la taille de  $\psi_l(x, y)$ ).

**Amélioration (Enge)** : d'autres modèles pour  $X_0(l) \rightsquigarrow$  polynôme  $\psi_l(x, y)$  avec coefficients plus petits ou degré moindre en  $y$ .

**Complexité** :  $\mathcal{O}(l^3 \log^4 l \log l)$  (quasi-linéaire en la taille de  $\psi_l(x, y)$ ).

**Amélioration (Couveignes, Lercier, Morain)** : lorsque  $q = p^n$  avec  $p$  petit.

**Amélioration (Enge)** : d'autres modèles pour  $X_0(l) \rightsquigarrow$  polynôme  $\psi_l(x, y)$  avec coefficients plus petits ou degré moindre en  $y$ .

**Complexité** :  $\mathcal{O}(l^3 \log^4 l \log l)$  (quasi-linéaire en la taille de  $\psi_l(x, y)$ ).

**Amélioration (Couveignes, Lercier, Morain)** : lorsque  $q = p^n$  avec  $p$  petit.

**Complexité** :  $\mathcal{O}(\log^4 q)$  en temps et  $\mathcal{O}(\log^2 q)$  en espace.

**Records** : Vercauteren  $q = 2^{1999}$  et Enge-Gaudry-Morain  $q = 10^{2099} + 6243$ .

**Nouvelles idées ? (Couveignes-de Jong-Edixhoven-Merkel-Bosman)** : calcul en temps polynomial de coefficients de formes modulaires.

# Relèvement ?

**Problème** : en caractéristique  $p$ ,  $d(x^p)/dx = 0$ .

# Relèvement ?

**Problème** : en caractéristique  $p$ ,  $d(x^p)/dx = 0$ .

**Solution** : relever en caractéristique 0.

# Relèvement ?

**Problème** : en caractéristique  $p$ ,  $d(x^p)/dx = 0$ .

**Solution** : relever en caractéristique 0.

**En pratique** :  $\mathbb{F}_p \rightsquigarrow \mathbb{Z}_p \subset \mathbb{Q}_p$  corps  $p$ -adique. On a  $\mathbb{Z}_p/(p) = \mathbb{F}_p$ .

# Relèvement ?

**Problème :** en caractéristique  $p$ ,  $d(x^p)/dx = 0$ .

**Solution :** relever en caractéristique 0.

**En pratique :**  $\mathbb{F}_p \rightsquigarrow \mathbb{Z}_p \subset \mathbb{Q}_p$  corps  $p$ -adique. On a  $\mathbb{Z}_p/(p) = \mathbb{F}_p$ .

Plus généralement  $\mathbb{F}_q \rightsquigarrow \mathbb{Z}_q \subset \mathbb{Q}_q$  extension (non-ramifiée) de degré  $n$  de  $\mathbb{Q}_p$ .

On note aussi  $\sigma \in \text{Gal}(\mathbb{Q}_q/\mathbb{Q}_p)$  (substitution de Frobenius) tel que

$$\sigma(\widetilde{x}) = \widetilde{x}^p.$$

# Autour du relèvement canonique

**Idée** : relever en une courbe particulière + action sur espace classique.



# Autour du relèvement canonique

**Idée** : relever en une courbe particulière + action sur espace classique.

**Résultat** : pour toute courbe elliptique (ordinaire)  $E/\mathbb{F}_q$  il existe un unique relèvement canonique  $\mathcal{E}/\mathbb{Q}_q$  tel que  $\text{End}(\mathcal{E}) \simeq \text{End}(E)$ .

# Autour du relèvement canonique

**Idée** : relever en une courbe particulière + action sur espace classique.

**Résultat** : pour toute courbe elliptique (ordinaire)  $E/\mathbb{F}_q$  il existe un unique relèvement canonique  $\boxed{\mathcal{E}/\mathbb{Q}_q}$  tel que  $\text{End}(\mathcal{E}) \simeq \text{End}(E)$ .

- 1 relever Frobenius  $\pi_E$  en  $\pi_{\mathcal{E}}$  ;

# Autour du relèvement canonique

**Idée** : relever en une courbe particulière + action sur espace classique.

**Résultat** : pour toute courbe elliptique (ordinaire)  $E/\mathbb{F}_q$  il existe un unique relèvement canonique  $\boxed{\mathcal{E}/\mathbb{Q}_q}$  tel que  $\text{End}(\mathcal{E}) \simeq \text{End}(E)$ .

- 1 relever Frobenius  $\pi_E$  en  $\pi_{\mathcal{E}}$  ;
- 2 action sur une différentielle régulière :  $\pi_{\mathcal{E}}^*(w) = cw$  ;

# Around the canonical lifting

**Idée** : relever en une courbe particulière + action sur espace classique.

**Résultat** : pour toute courbe elliptique (ordinaire)  $E/\mathbb{F}_q$  il existe un unique relèvement canonique  $\boxed{\mathcal{E}/\mathbb{Q}_q}$  tel que  $\text{End}(\mathcal{E}) \simeq \text{End}(E)$ .

- 1 relever Frobenius  $\pi_E$  en  $\pi_{\mathcal{E}}$  ;
- 2 action sur une différentielle régulière :  $\pi_{\mathcal{E}}^*(w) = cw$  ;
- 3  $\#E(\mathbb{F}_q) = q + 1 - (c + q/c)$ .

# Around the canonical lifting

**Idea** : relier en une courbe particulière + action sur espace classique.

**Résultat** : pour toute courbe elliptique (ordinaire)  $E/\mathbb{F}_q$  il existe un unique relèvement canonique  $\mathcal{E}/\mathbb{Q}_q$  tel que  $\text{End}(\mathcal{E}) \simeq \text{End}(E)$ .

- 1 relever Frobenius  $\pi_E$  en  $\pi_{\mathcal{E}}$  ;
- 2 action sur une différentielle régulière :  $\pi_{\mathcal{E}}^*(w) = cw$  ;
- 3  $\#E(\mathbb{F}_q) = q + 1 - (c + q/c)$ .

**En pratique** : autant pour le calcul de  $\mathcal{E}$  que de  $\pi_{\mathcal{E}}$ , il faut que  $q = p^n$  avec  $p$  petit afin de :

- 1 factoriser  $\pi_E$  et  $\pi_{\mathcal{E}}$  en  $n$  isogénies de degré  $p$ .

**Idea** : relier en une courbe particulière + action sur espace classique.

**Résultat** : pour toute courbe elliptique (ordinaire)  $E/\mathbb{F}_q$  il existe un unique relèvement canonique  $\boxed{\mathcal{E}/\mathbb{Q}_q}$  tel que  $\text{End}(\mathcal{E}) \simeq \text{End}(E)$ .

- 1 relever Frobenius  $\pi_E$  en  $\pi_{\mathcal{E}}$  ;
- 2 action sur une différentielle régulière :  $\pi_{\mathcal{E}}^*(w) = cw$  ;
- 3  $\#E(\mathbb{F}_q) = q + 1 - (c + q/c)$ .

**En pratique** : autant pour le calcul de  $\mathcal{E}$  que de  $\pi_{\mathcal{E}}$ , il faut que  $q = p^n$  avec  $p$  petit afin de :

- 1 factoriser  $\pi_E$  et  $\pi_{\mathcal{E}}$  en  $n$  isogénies de degré  $p$ .
- 2 chercher un invariant  $j \in \mathbb{Q}_q$  solution de l'équation modulaire

$$\psi_p(j, j^\sigma) = 0.$$

99 : Satoh ( $p > 3$ ,  $X(1)$ ) | relève tous les  $\mathcal{E}^{\sigma^i}$  (pas de calcul de  $\sigma$ )

99 : Satoh ( $p > 3$ ,  $X(1)$ )      |       $\tilde{O}(n^3), \mathcal{O}(n^3)$



99 : Satoh ( $p > 3$ ,  $X(1)$ )  
Fouquet-Gaudry-Harley

$$\left| \begin{array}{l} \tilde{O}(n^3), \mathcal{O}(n^3) \\ p = 2, 3 \end{array} \right.$$

99 : Satoh ( $p > 3$ ,  $X(1)$ )  
Fouquet-Gaudry-Harley

|  $\tilde{\mathcal{O}}(n^3), \mathcal{O}(n^3)$   
" "

99 : Satoh ( $p > 3$ ,  $X(1)$ )  
Fouquet-Gaudry-Harley  
Skjernaa

$\tilde{\mathcal{O}}(n^3), \mathcal{O}(n^3)$   
"  
nouveau calcul de  $\ker \text{Fr}_{\mathcal{E}} : \mathcal{E} \rightarrow \mathcal{E}^{\sigma}$

99 : Satoh ( $p > 3$ ,  $X(1)$ )

Fouquet-Gaudry-Harley

Skjernaa

$\tilde{\mathcal{O}}(n^3), \mathcal{O}(n^3)$

"

"

99 : Satoh ( $p > 3$ ,  $X(1)$ )

Fouquet-Gaudry-Harley

Skjernaa

Vercauteren

$\tilde{\mathcal{O}}(n^3), \mathcal{O}(n^3)$

"

"

relève une seule courbe

# Les algorithmes et complexité

99 : Satoh ( $p > 3$ ,  $X(1)$ )

Fouquet-Gaudry-Harley

Skjernaa

Vercauteren

$\tilde{\mathcal{O}}(n^3), \mathcal{O}(n^3)$

"

"

$\tilde{\mathcal{O}}(n^3), \mathcal{O}(n^2)$

# Les algorithmes et complexité

99 : Satoh ( $p > 3$ ,  $X(1)$ )

Fouquet-Gaudry-Harley

Skjernaa

Vercauteren

00 : Mestre ( $p = 2$ ,  $X_0(8)$ )

$\tilde{\mathcal{O}}(n^3), \mathcal{O}(n^3)$

"

"

$\tilde{\mathcal{O}}(n^3), \mathcal{O}(n^2)$

isogénie très simple (formule ana. AGM)

# Les algorithmes et complexité

99 : Satoh ( $p > 3$ ,  $X(1)$ )

Fouquet-Gaudry-Harley

Skjernaa

Vercauteren

00 : Mestre ( $p = 2$ ,  $X_0(8)$ )

$\tilde{\mathcal{O}}(n^3), \mathcal{O}(n^3)$

"

"

$\tilde{\mathcal{O}}(n^3), \mathcal{O}(n^2)$

" (code très simple,  $\pi_{\mathcal{E}}$  gratuit)



# Les algorithmes et complexité

99 : Satoh ( $p > 3$ ,  $X(1)$ )

Fouquet-Gaudry-Harley

Skjernaa

Vercauteren

00 : Mestre ( $p = 2$ ,  $X_0(8)$ )

Satoh-Skjernaa-Takachi ( $p = 2$ )

$\tilde{\mathcal{O}}(n^3), \mathcal{O}(n^3)$

"

"

$\tilde{\mathcal{O}}(n^3), \mathcal{O}(n^2)$

" (code très simple,  $\pi_E$  gratuit)

calcul rapide de  $\sigma$

# Les algorithmes et complexité

99 : Satoh ( $p > 3$ ,  $X(1)$ )

$$\tilde{O}(n^3), \mathcal{O}(n^3)$$

Fouquet-Gaudry-Harley

"

Skjernaa

"

Vercauteren

$$\tilde{O}(n^3), \mathcal{O}(n^2)$$

00 : Mestre ( $p = 2$ ,  $X_0(8)$ )

" (code très simple,  $\pi_E$  gratuit)

Satoh-Skjernaa-Takachi ( $p = 2$ )

$$\tilde{O}(n^{2.5}), \mathcal{O}(n^2)$$

99 : Satoh ( $p > 3$ ,  $X(1)$ )

Fouquet-Gaudry-Harley

Skjernaa

Vercauteren

00 : Mestre ( $p = 2$ ,  $X_0(8)$ )

Satoh-Skjernaa-Takachi ( $p = 2$ )

Kim et *al.* ( $p = 2$ )

$\tilde{O}(n^3), \mathcal{O}(n^3)$

"

"

$\tilde{O}(n^3), \mathcal{O}(n^2)$

" (code très simple,  $\pi_E$  gratuit)

$\tilde{O}(n^{2.5}), \mathcal{O}(n^2)$

base gaussienne normale (BGN)

99 : Satoh ( $p > 3$ ,  $X(1)$ )

Fouquet-Gaudry-Harley

Skjernaas

Vercauteren

00 : Mestre ( $p = 2$ ,  $X_0(8)$ )

Satoh-Skjernaas-Takachi ( $p = 2$ )

Kim et *al.* ( $p = 2$ )

$\tilde{O}(n^3), O(n^3)$

"

"

$\tilde{O}(n^3), O(n^2)$

" (code très simple,  $\pi_E$  gratuit)

$\tilde{O}(n^{2.5}), O(n^2)$

" (sans précalcul)

# Les algorithmes et complexité

99 : Satoh ( $p > 3$ ,  $X(1)$ )

Fouquet-Gaudry-Harley

Skjernaa

Vercauteren

00 : Mestre ( $p = 2$ ,  $X_0(8)$ )

Satoh-Skjernaa-Takachi ( $p = 2$ )

Kim et *al.* ( $p = 2$ )

01 : Gaudry MSST ( $p = 2$ )

$\tilde{\mathcal{O}}(n^3), \mathcal{O}(n^3)$

"

"

$\tilde{\mathcal{O}}(n^3), \mathcal{O}(n^2)$

" (code très simple,  $\pi_{\mathcal{E}}$  gratuit)

$\tilde{\mathcal{O}}(n^{2.5}), \mathcal{O}(n^2)$

" (sans précalcul)

combine AGM et SST en modifiant  $\psi_p$

99 : Satoh ( $p > 3$ ,  $X(1)$ )

Fouquet-Gaudry-Harley

Skjernaa

Vercauteren

00 : Mestre ( $p = 2$ ,  $X_0(8)$ )

Satoh-Skjernaa-Takachi ( $p = 2$ )

Kim et *al.* ( $p = 2$ )

01 : Gaudry MSST ( $p = 2$ )

$\tilde{O}(n^3), \mathcal{O}(n^3)$

"

"

$\tilde{O}(n^3), \mathcal{O}(n^2)$

" (code très simple,  $\pi_E$  gratuit)

$\tilde{O}(n^{2.5}), \mathcal{O}(n^2)$

" (sans précalcul)

" (constante car degré plus petit)

99 : Satoh ( $p > 3$ ,  $X(1)$ )

Fouquet-Gaudry-Harley

Skjernaa

Vercauteren

00 : Mestre ( $p = 2$ ,  $X_0(8)$ )

Satoh-Skjernaa-Takachi ( $p = 2$ )

Kim et al. ( $p = 2$ )

01 : Gaudry MSST ( $p = 2$ )

Lercier-Lubicz ( $p = 2$ )

$\tilde{\mathcal{O}}(n^3), \mathcal{O}(n^3)$

"

"

$\tilde{\mathcal{O}}(n^3), \mathcal{O}(n^2)$

" (code très simple,  $\pi_E$  gratuit)

$\tilde{\mathcal{O}}(n^{2.5}), \mathcal{O}(n^2)$

" (sans précalcul)

" (constante car degré plus petit)

BGN + meilleur Newton

99 : Satoh ( $p > 3$ ,  $X(1)$ )

Fouquet-Gaudry-Harley

Skjernaa

Vercauteren

00 : Mestre ( $p = 2$ ,  $X_0(8)$ )

Satoh-Skjernaa-Takachi ( $p = 2$ )

Kim et *al.* ( $p = 2$ )

01 : Gaudry MSST ( $p = 2$ )

Lercier-Lubicz ( $p = 2$ )

$\tilde{\mathcal{O}}(n^3), \mathcal{O}(n^3)$

"

"

$\tilde{\mathcal{O}}(n^3), \mathcal{O}(n^2)$

" (code très simple,  $\pi_E$  gratuit)

$\tilde{\mathcal{O}}(n^{2.5}), \mathcal{O}(n^2)$

" (sans précalcul)

" (constante car degré plus petit)

$\tilde{\mathcal{O}}(n^2), \mathcal{O}(n^2)$



99 : Satoh ( $p > 3$ ,  $X(1)$ )

Fouquet-Gaudry-Harley

Skjernaas

Vercauteren

00 : Mestre ( $p = 2$ ,  $X_0(8)$ )

Satoh-Skjernaas-Takachi ( $p = 2$ )

Kim et *al.* ( $p = 2$ )

01 : Gaudry MSST ( $p = 2$ )

Lercier-Lubicz ( $p = 2$ )

02 : Harley ( $p = 2$ )

$\tilde{\mathcal{O}}(n^3), \mathcal{O}(n^3)$

"

"

$\tilde{\mathcal{O}}(n^3), \mathcal{O}(n^2)$

" (code très simple,  $\pi_E$  gratuit)

$\tilde{\mathcal{O}}(n^{2.5}), \mathcal{O}(n^2)$

" (sans précalcul)

" (constante car degré plus petit)

$\tilde{\mathcal{O}}(n^2), \mathcal{O}(n^2)$

Newton general + calcul de la norme

99 : Satoh ( $p > 3$ ,  $X(1)$ )

Fouquet-Gaudry-Harley

Skjernaas

Vercauteren

00 : Mestre ( $p = 2$ ,  $X_0(8)$ )

Satoh-Skjernaas-Takachi ( $p = 2$ )

Kim et al. ( $p = 2$ )

01 : Gaudry MSST ( $p = 2$ )

Lercier-Lubicz ( $p = 2$ )

02 : Harley ( $p = 2$ )

$\tilde{\mathcal{O}}(n^3), \mathcal{O}(n^3)$

"

"

$\tilde{\mathcal{O}}(n^3), \mathcal{O}(n^2)$

" (code très simple,  $\pi_E$  gratuit)

$\tilde{\mathcal{O}}(n^{2.5}), \mathcal{O}(n^2)$

" (sans précalcul)

" (constante car degré plus petit)

$\tilde{\mathcal{O}}(n^2), \mathcal{O}(n^2)$

" (pour tout  $n$ ) ©.

99 : Satoh ( $p > 3$ ,  $X(1)$ )

Fouquet-Gaudry-Harley

Skjernaas

Vercauteren

00 : Mestre ( $p = 2$ ,  $X_0(8)$ )

Satoh-Skjernaas-Takachi ( $p = 2$ )

Kim et al. ( $p = 2$ )

01 : Gaudry MSST ( $p = 2$ )

Lercier-Lubicz ( $p = 2$ )

02 : Harley ( $p = 2$ )

03 : Kohel ( $X_0(p)$  de genre 0)

$\tilde{O}(n^3), O(n^3)$

"

"

$\tilde{O}(n^3), O(n^2)$

" (code très simple,  $\pi_E$  gratuit)

$\tilde{O}(n^{2.5}), O(n^2)$

" (sans précalcul)

" (constante car degré plus petit)

$\tilde{O}(n^2), O(n^2)$

" (pour tout  $n$ ) ©.

modulaire AGM  $p = 3, 5, 7, 13$

99 : Satoh ( $p > 3$ ,  $X(1)$ )

Fouquet-Gaudry-Harley

Skjernaas

Vercauteren

00 : Mestre ( $p = 2$ ,  $X_0(8)$ )

Satoh-Skjernaas-Takachi ( $p = 2$ )

Kim et al. ( $p = 2$ )

01 : Gaudry MSST ( $p = 2$ )

Lercier-Lubicz ( $p = 2$ )

02 : Harley ( $p = 2$ )

03 : Kohel ( $X_0(p)$  de genre 0)

$\tilde{\mathcal{O}}(n^3), \mathcal{O}(n^3)$

"

"

$\tilde{\mathcal{O}}(n^3), \mathcal{O}(n^2)$

" (code très simple,  $\pi_{\mathcal{E}}$  gratuit)

$\tilde{\mathcal{O}}(n^{2.5}), \mathcal{O}(n^2)$

" (sans précalcul)

" (constante car degré plus petit)

$\tilde{\mathcal{O}}(n^2), \mathcal{O}(n^2)$

" (pour tout  $n$ ) ©.

"

99 : Satoh ( $p > 3$ ,  $X(1)$ )

Fouquet-Gaudry-Harley

Skjernaa

Vercauteren

00 : Mestre ( $p = 2$ ,  $X_0(8)$ )

Satoh-Skjernaa-Takachi ( $p = 2$ )

Kim et *al.* ( $p = 2$ )

01 : Gaudry MSST ( $p = 2$ )

Lercier-Lubicz ( $p = 2$ )

02 : Harley ( $p = 2$ )

03 : Kohel ( $X_0(p)$  de genre 0)

04 : Gustavsen-Ranestad

$\tilde{O}(n^3), O(n^3)$

"

"

$\tilde{O}(n^3), O(n^2)$

" (code très simple,  $\pi_E$  gratuit)

$\tilde{O}(n^{2.5}), O(n^2)$

" (sans précalcul)

" (constante car degré plus petit)

$\tilde{O}(n^2), O(n^2)$

" (pour tout  $n$ ) ©.

"

AGM géométrique  $p = 3$

99 : Satoh ( $p > 3$ ,  $X(1)$ )

Fouquet-Gaudry-Harley

Skjernaa

Vercauteren

00 : Mestre ( $p = 2$ ,  $X_0(8)$ )

Satoh-Skjernaa-Takachi ( $p = 2$ )

Kim et *al.* ( $p = 2$ )

01 : Gaudry MSST ( $p = 2$ )

Lercier-Lubicz ( $p = 2$ )

02 : Harley ( $p = 2$ )

03 : Kohel ( $X_0(p)$  de genre 0)

04 : Gustavsen-Ranestad

$\tilde{\mathcal{O}}(n^3), \mathcal{O}(n^3)$

"

"

$\tilde{\mathcal{O}}(n^3), \mathcal{O}(n^2)$

" (code très simple,  $\pi_{\mathcal{E}}$  gratuit)

$\tilde{\mathcal{O}}(n^{2.5}), \mathcal{O}(n^2)$

" (sans précalcul)

" (constante car degré plus petit)

$\tilde{\mathcal{O}}(n^2), \mathcal{O}(n^2)$

" (pour tout  $n$ ) ©.

"

$\tilde{\mathcal{O}}(n^3), \mathcal{O}(n^2)$

99 : Satoh ( $p > 3$ ,  $X(1)$ )

Fouquet-Gaudry-Harley

Skjernaa

Vercauteren

00 : Mestre ( $p = 2$ ,  $X_0(8)$ )

Satoh-Skjernaa-Takachi ( $p = 2$ )

Kim et *al.* ( $p = 2$ )

01 : Gaudry MSST ( $p = 2$ )

Lercier-Lubicz ( $p = 2$ )

02 : Harley ( $p = 2$ )

03 : Kohel ( $X_0(p)$  de genre 0)

04 : Gustavsen-Ranestad

06- : Carls-Kohel-Lubicz

$\tilde{\mathcal{O}}(n^3), \mathcal{O}(n^3)$

"

"

$\tilde{\mathcal{O}}(n^3), \mathcal{O}(n^2)$

" (code très simple,  $\pi_{\mathcal{E}}$  gratuit)

$\tilde{\mathcal{O}}(n^{2.5}), \mathcal{O}(n^2)$

" (sans précalcul)

" (constante car degré plus petit)

$\tilde{\mathcal{O}}(n^2), \mathcal{O}(n^2)$

" (pour tout  $n$ ) ©.

"

$\tilde{\mathcal{O}}(n^3), \mathcal{O}(n^2)$

AGM géométrique  $p > 2$

99 : Satoh ( $p > 3$ ,  $X(1)$ )

Fouquet-Gaudry-Harley

Skjernaa

Vercauteren

00 : Mestre ( $p = 2$ ,  $X_0(8)$ )

Satoh-Skjernaa-Takachi ( $p = 2$ )

Kim et *al.* ( $p = 2$ )

01 : Gaudry MSST ( $p = 2$ )

Lercier-Lubicz ( $p = 2$ )

02 : Harley ( $p = 2$ )

03 : Kohel ( $X_0(p)$  de genre 0)

04 : Gustavsen-Ranestad

06- : Carls-Kohel-Lubicz

$\tilde{\mathcal{O}}(n^3), \mathcal{O}(n^3)$

"

"

$\tilde{\mathcal{O}}(n^3), \mathcal{O}(n^2)$

" (code très simple,  $\pi_{\mathcal{E}}$  gratuit)

$\tilde{\mathcal{O}}(n^{2.5}), \mathcal{O}(n^2)$

" (sans précalcul)

" (constante car degré plus petit)

$\tilde{\mathcal{O}}(n^2), \mathcal{O}(n^2)$

" (pour tout  $n$ ) ©.

"

$\tilde{\mathcal{O}}(n^3), \mathcal{O}(n^2)$

?



# En temps de calcul (Vercauteren sur $\mathbb{F}_{2^n}$ )

En secondes sur un processeur AMD XP 1700+ (Linux RedHat 7.1).

$n$	FGH	SKJ	VER	AGM	SST	MSST	HAR
144	3.99	2.89	1.91	0.57	0.13	0.06	0.06
192	6.04	4.93	3.22	0.88	0.26	0.08	0.08
480	205.3	157.9	106.5	34.5	3.56	2.03	1.87

$n$	KIM	LELU
148	0.04	0.02
466	0.872	0.374

Record : Lercier-Lubicz (02) :  $n = 100002$ .

**Idée** : relever en une courbe 'quelconque'  $X : y^2 = F(x)$  et action sur un espace compliqué :

$$A^\dagger = \mathbb{Q}_q[x, y, y^{-1}]^\dagger / (y^2 - F(x))$$

où  $\mathbb{Q}_q[x, y, y^{-1}]^\dagger$  est l'algèbre des séries formelles + propriété de convergence.

**Idée** : relever en une courbe 'quelconque'  $X : y^2 = F(x)$  et action sur un espace compliqué :

$$A^\dagger = \mathbb{Q}_q[x, y, y^{-1}]^\dagger / (y^2 - F(x))$$

où  $\mathbb{Q}_q[x, y, y^{-1}]^\dagger$  est l'algèbre des séries formelles + propriété de convergence.

**Relèvement du Frobenius** :

$$\mathcal{F} : (x, y) \rightarrow (x^p, y^p(1 + \frac{F^\sigma(x^p) - F(x)^p}{y^{2p}})^{1/2}).$$

**Idée** : relever en une courbe 'quelconque'  $X : y^2 = F(x)$  et action sur un espace compliqué :

$$A^\dagger = \mathbb{Q}_q[x, y, y^{-1}]^\dagger / (y^2 - F(x))$$

où  $\mathbb{Q}_q[x, y, y^{-1}]^\dagger$  est l'algèbre des séries formelles + propriété de convergence.

**Relèvement du Frobenius** :

$$\mathcal{F} : (x, y) \rightarrow (x^p, y^p(1 + \frac{F^\sigma(x^p) - F(x)^p}{y^{2p}})^{1/2}).$$

**Formule de trace** :

$$\#E(\mathbb{F}_q) = 1 + q - \text{tr}(q\mathcal{F}^{-1} | H_{\text{MW}}^1(X))$$

(MW : cohomologie de Monsky-Washnitzer).

- Algorithme de Kedlaya ( $p > 2$ ) :  $\tilde{O}(pg^4n^3)$  en temps et  $\tilde{O}(pg^3n^3)$  en espace.
- Denef-Vercauteren ( $p = 2$ ).
- De  $p$  à  $\sqrt{p}$  en temps : Bostan-Gaudry-Schost, Harvey.
- Variantes : cohomologie de Dwork-Reich (Lauder et Wan), rigide, cristalline.

- Algorithme de Kedlaya ( $p > 2$ ) :  $\tilde{O}(pg^4n^3)$  en temps et  $\tilde{O}(pg^3n^3)$  en espace.
- Denef-Vercauteren ( $p = 2$ ).
- De  $p$  à  $\sqrt{p}$  en temps : Bostan-Gaudry-Schost, Harvey.
- Variantes : cohomologie de Dwork-Reich (Lauder et Wan), rigide, cristalline.

Non compétitif avec le relèvement canonique. Peut-être utile pour  $p$  médium par descente de Weil car meilleure dépendance en  $p$  et en  $g$ .

# Nouvelle piste : la déformation

Fig.: Déformation de Laufer

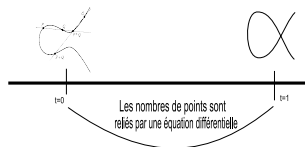
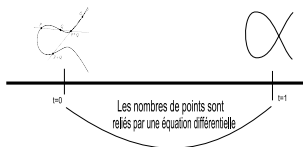


Fig.: Déformation de Lauder

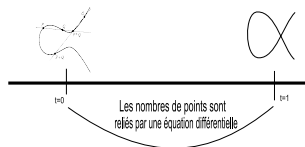


- Gerkmann et Hubrechts (Lauder+Kedlaya) : complexité en espace  $\tilde{\mathcal{O}}(pg^4 n^2)$ .



# Nouvelle piste : la déformation

Fig.: Déformation de Lauder



- Gerkmann et Hubrechts (Lauder+Kedlaya) : complexité en espace  $\tilde{O}(pg^4 n^2)$ .
- Hubrechts (fév.08) : (Lauder+Kedlaya+ norme rapide)  $\tilde{O}(n^2)$  en temps.

Exemples en s. (Hubrechts) : AMD Athlon 64 3000+.

$p \setminus n$	50	500	4000
3	.15	16.58	4252
5	.26	36.55	-
7	1.76	167.56	-

# Multiplication complexe (CM)

**Idée** : trouver  $E/\overline{\mathbb{Q}}$  tq  $\#(E \pmod{p})$  est facile à calculer.

- soit  $E/\overline{\mathbb{Q}}$  telle que  $\mathbb{Z} \subsetneq \text{End}(E) = O_K \subset K = \mathbb{Q}(\sqrt{-d})$  avec  $O_K$  l'anneau des entiers de  $K$  et  $1 < d \equiv 3 \pmod{4}$ .

# Multiplication complexe (CM)

**Idée** : trouver  $E/\overline{\mathbb{Q}}$  tq  $\#(E \pmod{p})$  est facile à calculer.

- soit  $E/\overline{\mathbb{Q}}$  telle que  $\mathbb{Z} \subsetneq \text{End}(E) = O_K \subset K = \mathbb{Q}(\sqrt{-d})$  avec  $O_K$  l'anneau des entiers de  $K$  et  $1 < d \equiv 3 \pmod{4}$ .
- Soit  $p$  premier grand tel que  $4p = x^2 + dy^2$  (algo Cornacchia).

# Multiplication complexe (CM)

**Idée :** trouver  $E/\overline{\mathbb{Q}}$  tq  $\#(E \pmod{p})$  est facile à calculer.

- soit  $E/\overline{\mathbb{Q}}$  telle que  $\mathbb{Z} \subsetneq \text{End}(E) = O_K \subset K = \mathbb{Q}(\sqrt{-d})$  avec  $O_K$  l'anneau des entiers de  $K$  et  $1 < d \equiv 3 \pmod{4}$ .
- Soit  $p$  premier grand tel que  $4p = x^2 + dy^2$  (algo Cornacchia).
- Alors  $E \pmod{p}$  a pour cardinal  $p + 1 \pm x$ .

# Multiplication complexe (CM)

**Idée :** trouver  $E/\overline{\mathbb{Q}}$  tq  $\#(E \pmod{p})$  est facile à calculer.

- soit  $E/\overline{\mathbb{Q}}$  telle que  $\mathbb{Z} \subsetneq \text{End}(E) = O_K \subset K = \mathbb{Q}(\sqrt{-d})$  avec  $O_K$  l'anneau des entiers de  $K$  et  $1 < d \equiv 3 \pmod{4}$ .
- Soit  $p$  premier grand tel que  $4p = x^2 + dy^2$  (algo Cornacchia).
- Alors  $E \pmod{p}$  a pour cardinal  $\boxed{p + 1 \pm x}$ .

**Ex. :**  $E : y^2 = x(x^2 - 21x + 112)$  avec  $d = 7$ .

$4 \cdot 11 = 4^2 + 7 \cdot 2^2$  et  $\#E(\mathbb{F}_{11}) = 16 = 11 + 1 + 4$ .

**Rem. :** on veut  $d$  grand.

**Question :** comment obtenir  $E$  (ou  $E \pmod{p}$ ) ?

Soit  $K = \mathbb{Q}(\sqrt{-d})$  et  $I$  un idéal de  $O_K$ .

$I \subset \mathbb{C}$  est un réseau et  $E_I = \mathbb{C}/I \simeq \mathbb{C}/\mathbb{Z} + \tau_I\mathbb{Z}$  est une courbe elliptique telle que  $\text{End}(E_I) = O_K$ .

Polynôme de classes de Hilbert :

$$H_d(X) = \prod_{I \in \text{Cl}(O_K)} (X - j(\tau_I)) \in \mathbb{Z}[X]$$

avec  $j(\tau) = 1/q + 744 + 196884q + \dots$  et  $q = \exp(2i\pi\tau)$ .

- idéaux  $\iff$  formes quadratiques (réduites)  $ax^2 + bx + c$  de discriminant  $d$  et  $\tau = \frac{b + \sqrt{-d}}{2a}$ .

- idéaux  $\iff$  formes quadratiques (réduites)  $ax^2 + bx + c$  de discriminant  $d$  et  $\tau = \frac{b + \sqrt{-d}}{2a}$ .
- Evaluation des  $j$  (Enge) :
  - 1 utilisation de

$$\eta = q^{1/24} \left( 1 + \sum_{n=1}^{\infty} (-1)^n (q^{n(3n-1)/2} + q^{n(3n+1)/2}) \right).$$



- idéaux  $\iff$  formes quadratiques (réduites)  $ax^2 + bx + c$  de discriminant  $d$  et  $\tau = \frac{b + \sqrt{-d}}{2a}$ .
- Evaluation des  $j$  (Enge) :
  - 1 utilisation de

$$\eta = q^{1/24} \left( 1 + \sum_{n=1}^{\infty} (-1)^n (q^{n(3n-1)/2} + q^{n(3n+1)/2}) \right).$$

- 2 évaluation multi-points.

- idéaux  $\iff$  formes quadratiques (réduites)  $ax^2 + bx + c$  de discriminant  $d$  et  $\tau = \frac{b + \sqrt{-d}}{2a}$ .
- Evaluation des  $j$  (Enge) :
  - 1 utilisation de

$$\eta = q^{1/24} \left( 1 + \sum_{n=1}^{\infty} (-1)^n (q^{n(3n-1)/2} + q^{n(3n+1)/2}) \right).$$

- 2 évaluation multi-points.
- 3 itérations de Newton sur l'AGM (avec l'algo de Dupont).

- idéaux  $\iff$  formes quadratiques (réduites)  $ax^2 + bx + c$  de discriminant  $d$  et  $\tau = \frac{b + \sqrt{-d}}{2a}$ .
- Evaluation des  $j$  (Enge) :
  - 1 utilisation de

$$\eta = q^{1/24} \left( 1 + \sum_{n=1}^{\infty} (-1)^n (q^{n(3n-1)/2} + q^{n(3n+1)/2}) \right).$$

- 2 évaluation multi-points.
  - 3 itérations de Newton sur l'AGM (avec l'algo de Dupont).
- La hauteur de  $H_d$  est élevé : remplacer  $j$  par des fonctions de Weber.

# Complexité et résultats (Enge)

Sur AMD Opteron 250 à 2.4 Ghz en secondes.

$\deg(H_d)$	5000	20000	100000	
$d$	69611631	98016239	2093236031	
$\eta$	28	1800	270000	$\tilde{O}( d ^{5/4})$
ev. multipoint	110	6500	-	$O(d \log^{6+o(1)} d)$
AGM	48	2300	260000	$O(d \log^{5+o(1)} d)$

A un facteur logarithmique près ceci correspond à la complexité d'écriture de la sortie.

Pour le cas 100000 : 3 jours pour 5GB en texte compressé.

Idée : calcul de  $H_d \pmod{p}$  pour différents  $p$  puis TRC.

**Idée** : calcul de  $H_d \pmod{p}$  pour différents  $p$  puis TRC.

**En pratique** :

- Enumeration sur  $\mathbb{F}_p$  (Agashe, Lauter, Venkatesan) :  $\tilde{O}(d^{3/2})$ .

**Idée** : calcul de  $H_d \pmod{p}$  pour différents  $p$  puis TRC.

**En pratique** :

- Enumeration sur  $\mathbb{F}_p$  (Agashe, Lauter, Venkatesan) :  $\tilde{O}(d^{3/2})$ .
- Le cas  $p$  tot. décomposé ( $p > d$ ) :
  - 1 trouver  $E$  avec  $\text{End}(E) = O_K$ .
  - 2 calculer  $j(E)^\alpha$  pour  $\alpha \in \text{Cl}(O_K)$ .
  - 3 Retourner  $H_d \pmod{p} = \prod (X - j(E)^\alpha)$ .

**Idée :** calcul de  $H_d \pmod{p}$  pour différents  $p$  puis TRC.

**En pratique :**

- Enumeration sur  $\mathbb{F}_p$  (Agashe, Lauter, Venkatesan) :  $\tilde{O}(d^{3/2})$ .
- Le cas  $p$  tot. décomposé ( $p > d$ ) :
  - 1 trouver  $E$  avec  $\text{End}(E) = O_K$ .
  - 2 calculer  $j(E)^\alpha$  pour  $\alpha \in \text{Cl}(O_K)$ .
  - 3 Retourner  $H_d \pmod{p} = \prod (X - j(E)^\alpha)$ .
- Le cas  $p$  inerte ( $p$  petit) :
  - 1 calcul de la liste des  $j$  supersinguliers sur  $\mathbb{F}_{p^2}$  avec leur anneau d'endomorphismes dans  $\mathcal{A}_{p,\infty}$ .
  - 2 calcul d'un plongement optimal  $s : O_K \rightarrow \mathcal{A}_{p,\infty}$  et  $R \supset s(O_K)$  un ordre maximal.
  - 3 trouver  $E$  dans la liste avec  $\text{End}(E) = R$ .
  - 4 retourner  $H_d \pmod{p} = \prod (X - j(E)^\alpha)$ .



**Idée** : calcul de  $H_d \pmod{p}$  pour différents  $p$  puis TRC.

**En pratique** :

- Enumeration sur  $\mathbb{F}_p$  (Agashe, Lauter, Venkatesan) :  $\tilde{O}(d^{3/2})$ .
- Le cas  $p$  tot. décomposé ( $p > d$ ) :
  - ① trouver  $E$  avec  $\text{End}(E) = O_K$ .
  - ② calculer  $j(E)^\alpha$  pour  $\alpha \in \text{Cl}(O_K)$ .
  - ③ Retourner  $H_d \pmod{p} = \prod (X - j(E)^\alpha)$ .
- Le cas  $p$  inerte ( $p$  petit) :
  - ① calcul de la liste des  $j$  supersinguliers sur  $\mathbb{F}_{p^2}$  avec leur anneau d'endomorphismes dans  $\mathcal{A}_{p,\infty}$ .
  - ② calcul d'un plongement optimal  $s : O_K \rightarrow \mathcal{A}_{p,\infty}$  et  $R \supset s(O_K)$  un ordre maximal.
  - ③ trouver  $E$  dans la liste avec  $\text{End}(E) = R$ .
  - ④ retourner  $H_d \pmod{p} = \prod (X - j(E)^\alpha)$ .

**Complexité** : GRH ( $\mathcal{O}(d \log^{7+o(1)} d)$ ); heuristique ( $\mathcal{O}(d \log^{3+o(1)} d)$ ).

**En chiffre** :  $\deg(H_d) = 100$  : 14s (.3s analytique).



**Idée** : sur  $\mathbb{F}_q$  une courbe elliptique ordinaire est CM.

Prendre le relèvement canonique  $\mathcal{E}$  de  $E/\mathbb{F}_q$  ( $\text{End}(\mathcal{E}) \simeq \text{End}(E)$ ) et de ses conjugués.

**Idée** : sur  $\mathbb{F}_q$  une courbe elliptique ordinaire est CM.

Prendre le relèvement canonique  $\mathcal{E}$  de  $E/\mathbb{F}_q$  ( $\text{End}(\mathcal{E}) \simeq \text{End}(E)$ ) et de ses conjugués.

**En pratique (Couveignes-Henocq)** :

- si  $p$  est petit, on utilise Satoh ou AGM.
- si  $p$  est grand, relèvement avec des endomorphismes friables.

**Idée :** sur  $\mathbb{F}_q$  une courbe elliptique ordinaire est CM.

Prendre le relèvement canonique  $\mathcal{E}$  de  $E/\mathbb{F}_q$  ( $\text{End}(\mathcal{E}) \simeq \text{End}(E)$ ) et de ses conjugués.

**En pratique (Couveignes-Henocq) :**

- si  $p$  est petit, on utilise Satoh ou AGM.
- si  $p$  est grand, relèvement avec des endomorphismes friables.

**Rq. :** on peut aussi relever les courbes supersingulières.

**Complexité :**  $\mathcal{O}(d \log^4 d)$  (sans problème d'arrondis).

# Des courbes à la carte (Bröker, Stevenhagen)

Rappel :  $\pi_E$  satisfait  $X^2 + aX + p$  et  $N = \#E(\mathbb{F}_p) = 1 + a + p$ .

# Des courbes à la carte (Bröker, Stevenhagen)

**Rappel :**  $\pi_E$  satisfait  $X^2 + aX + p$  et  $N = \#E(\mathbb{F}_p) = 1 + a + p$ . Donc  $\text{End}(E) \subset \mathbb{Q}(\sqrt{-d})$  avec

$$-d = -f^2 \Delta = (N - 1 - p)^2 - 4p = (N + 1 - p)^2 - 4N.$$

# Des courbes à la carte (Bröker, Stevenhagen)

**Rappel :**  $\pi_E$  satisfait  $X^2 + aX + p$  et  $N = \#E(\mathbb{F}_p) = 1 + a + p$ . Donc  $\text{End}(E) \subset \mathbb{Q}(\sqrt{-d})$  avec

$$-d = -f^2\Delta = (N - 1 - p)^2 - 4p = (N + 1 - p)^2 - 4N.$$

On a donc

$$4N = x^2 + f^2\Delta = 4\alpha\bar{\alpha}, \quad p = N + 1 - x.$$

# Des courbes à la carte (Bröker, Stevenhagen)

**Rappel :**  $\pi_E$  satisfait  $X^2 + aX + p$  et  $N = \#E(\mathbb{F}_p) = 1 + a + p$ . Donc  $\text{End}(E) \subset \mathbb{Q}(\sqrt{-d})$  avec

$$-d = -f^2\Delta = (N - 1 - p)^2 - 4p = (N + 1 - p)^2 - 4N.$$

On a donc

$$4N = x^2 + f^2\Delta = 4\alpha\bar{\alpha}, \quad p = N + 1 - x.$$

**Idée :** étant donné  $N$  on cherche donc le plus petit  $\Delta$  tel que il existe  $\alpha \in K = \mathbb{Q}(\sqrt{\Delta})$  tq

- $N_{K/\mathbb{Q}}(\alpha) = N$ ;
- $p = N_{K/\mathbb{Q}}(1 - \alpha)$  est premier.



# Des courbes à la carte (Bröker, Stevenhagen)

**Rappel :**  $\pi_E$  satisfait  $X^2 + aX + p$  et  $N = \#E(\mathbb{F}_p) = 1 + a + p$ . Donc  $\text{End}(E) \subset \mathbb{Q}(\sqrt{-d})$  avec

$$-d = -f^2\Delta = (N - 1 - p)^2 - 4p = (N + 1 - p)^2 - 4N.$$

On a donc

$$4N = x^2 + f^2\Delta = 4\alpha\bar{\alpha}, \quad p = N + 1 - x.$$

**Idee :** étant donné  $N$  on cherche donc le plus petit  $\Delta$  tel que il existe  $\alpha \in K = \mathbb{Q}(\sqrt{\Delta})$  tq

- $N_{K/\mathbb{Q}}(\alpha) = N$ ;
- $p = N_{K/\mathbb{Q}}(1 - \alpha)$  est premier.

**Problème :** on ne sait pas prouver qu'il existe toujours un  $\Delta < \tilde{O}(\log^2 N)$ .

# Des courbes à la carte (Bröker, Stevenhagen)

**Rappel :**  $\pi_E$  satisfait  $X^2 + aX + p$  et  $N = \#E(\mathbb{F}_p) = 1 + a + p$ . Donc  $\text{End}(E) \subset \mathbb{Q}(\sqrt{-d})$  avec

$$-d = -f^2\Delta = (N - 1 - p)^2 - 4p = (N + 1 - p)^2 - 4N.$$

On a donc

$$4N = x^2 + f^2\Delta = 4\alpha\bar{\alpha}, \quad p = N + 1 - x.$$

**Idée :** étant donné  $N$  on cherche donc le plus petit  $\Delta$  tel que il existe  $\alpha \in K = \mathbb{Q}(\sqrt{\Delta})$  tq

- $N_{K/\mathbb{Q}}(\alpha) = N$ ;
- $p = N_{K/\mathbb{Q}}(1 - \alpha)$  est premier.

**Problème :** on ne sait pas prouver qu'il existe toujours un  $\Delta < \tilde{O}(\log^2 N)$ .

**Complexité heuristique :**  $\tilde{O}(\log^4 N)$ .

**Exemple :**  $N = 10^{2004} + 4863$  en 3 heures sur un PC 2.4 GHz.



**Rappel** : on veut que le cardinal du groupe  $E(\mathbb{F}_q)$  ait un gros facteur premier  $N$ . On pose aussi  $d$  tel que  $\text{End}(E) \subset \mathbb{Q}(\sqrt{-d})$ .

"basiques"	Com.	Méthodes adiques	Com.	CM	Com.
comptage	$q^{1/2}$	$l$ -adique	$\log^4 q$	sur $\mathbb{C}$	$d \log^5 d$
algo $\sqrt{\quad}$	$q^{1/4}$	relèv. canonique	$\log^2 q$	TRC	$d \log^3 d$
extension	$\log q$	cohomologique	$\log^3 q$	relèvement	$d \log^4 d$
		déformation	$\log^2 q$	à la carte	$\log^4 N$